



中国科学技术大学
University of Science and Technology of China

信息科学技术学院
School of Information Science and Technology

信号与系统 – 第七周

信号和系统的变换域表示法 (续)

赵 峰, 电四楼421
fzhao956@ustc.edu.cn
2022/4/2

5.4.3 非周期信号频谱和 LTI 系统的频率响应

非周期函数或序列 ($f(t)$ 或 $f[n]$) 既可以表示非周期信号或序列 (如 $x(t)$ 或 $x[n]$)，也可表示 LTI 系统单位冲激响应 $h(t)$ 或 $h[n]$ 。如果它们的傅里叶变换分别是 $X(\omega)$ 或 $\tilde{X}(\Omega)$ 和 $H(\omega)$ 或 $\tilde{H}(\Omega)$ ，其中： $X(\omega)$ 或 $\tilde{X}(\Omega)$ 称为 $x(t)$ 或 $x[n]$ 的频谱，而 $H(\omega)$ 或 $\tilde{H}(\Omega)$ 称为 LTI 系统的频率响应。本小节将讨论这些概念及其物理意义。

■ 非周期信号的频谱

对于连续时间或离散时间非周期信号 $x(t)$ 或 $x[n]$ ，如果它们分别存在 CFT 或 DTFT，即

$$x(t) \xleftrightarrow{\text{CFT}} X(\omega) \quad \text{或} \quad x[n] \xleftrightarrow{\text{DTFT}} \tilde{X}(\Omega)$$

$$\text{其中: } X(\omega) = \int_{-\infty}^{\infty} x(t) e^{-j\omega t} dt \quad \text{或} \quad \tilde{X}(\Omega) = \sum_{n=-\infty}^{\infty} x[n] e^{-j\Omega n}$$

$$\text{和 } x(t) = \frac{1}{2\pi} \int_{-\infty}^{\infty} X(\omega) e^{j\omega t} d\omega \quad \text{或} \quad x[n] = \frac{1}{2\pi} \int_{\langle 2\pi \rangle} \tilde{X}(\Omega) e^{j\Omega n} d\Omega$$

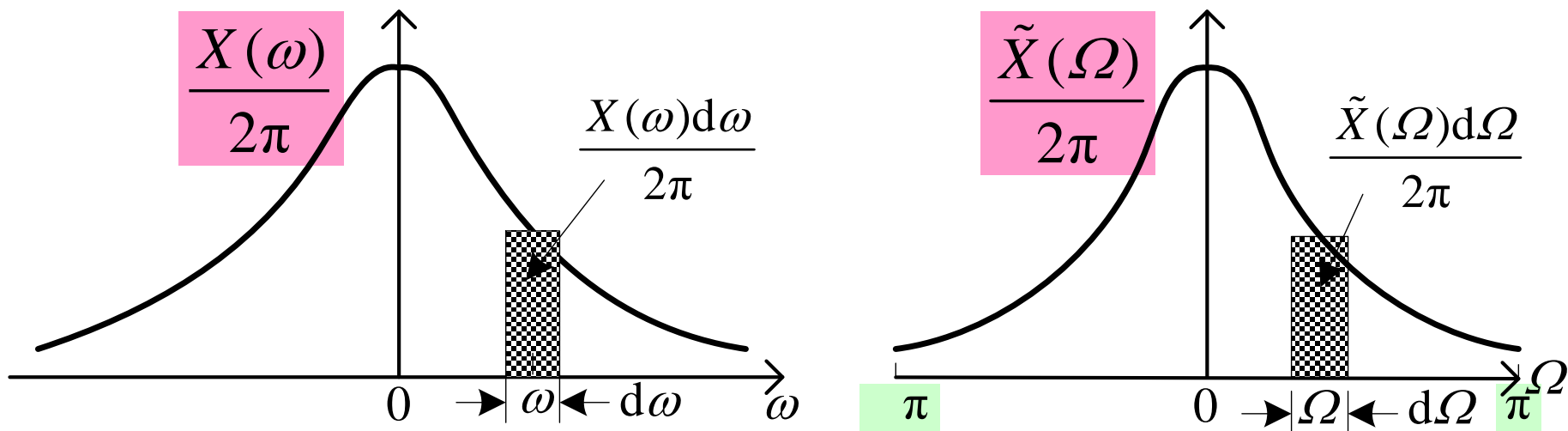
为理解其物理意义，反变换式改写成如下的连续线性组合形式：

5.4.3 非周期信号频谱和 LTI 系统的频率响应(续)

$$x(t) = \int_{-\infty}^{\infty} \frac{X(\omega) d\omega}{2\pi} e^{j\omega t} \quad \text{或} \quad x[n] = \int_{\langle 2\pi \rangle} \frac{\tilde{X}(\Omega) d\Omega}{2\pi} e^{j\Omega n}$$

它们可以与 CFS 或 DFS 的合成公式作类比：

在 CFS 或 DFS 中，周期信号或序列是一组成谐波关系的复正弦分量的线性组合，每个谐波分量的复数幅度为 F_k 或 \tilde{F}_k ；而非周期信号或序列则是分布在 $\omega \in \mathbf{R}$ 或 $\Omega \in \langle 2\pi \rangle$ 上所有频率的复正弦分量的一个连续的线性组合，其每个频率 ω 或 Ω 分量的复数幅度分别为 $X(\omega)d\omega/2\pi$ 或 $\tilde{X}(\Omega)d\Omega/2\pi$ 。下图是假设 $X(\omega)$ 或 $\tilde{X}(\Omega)$ 时对此作出的解释，因此， $X(\omega)$ 或 $\tilde{X}(\Omega)$ 称为信号 $x(t)$ 或 $x[n]$ 的频谱



5.4.3 非周期信号频谱和 LTI 系统的频率响应(续)

由上面的讨论可以归纳出非周期信号频谱的主要特点:

- 非周期信号的频谱是连续频谱, 即 $X(\omega)$ 或 $\tilde{X}(\Omega)$ 表示构成非周期信号 $x(t)$ 或 $x[n]$ 的复正弦分量 $e^{j\omega t}$ 或 $e^{j\Omega n}$ 在频率 ω 或 Ω 上的谱密度分布函数, $X(\omega)$ 或 $\tilde{X}(\Omega)$ 在 ω 或 Ω 上的函数值等于该频率处、单位频带的复正弦分量之复数幅度乘以 2π ;
- 非周期信号 $x(t)$ 的谱密度函数 $X(\omega)$ 是整个频域 ω 上的非周期函数, 而非周期序列 $x[n]$ 的谱密度函数 $\tilde{X}(\Omega)$ 是 Ω 上的周期为 2π 的周期函数, 故在区间 $(-\pi, \pi]$ 或 $[0, 2\pi)$ 上的 $\tilde{X}(\Omega)$ 完全代表了 $x[n]$ 的谱密度分布情况;
- 即使是实的 $x(t)$ 或 $x[n]$ 的频谱密度函数 $X(\omega)$ 或 $\tilde{X}(\Omega)$, 一般也是 ω 或 Ω 的复值函数, 它们用实部和虚部函数表示, 但常用其模函数和幅角函数表示, 它有清楚的物理含义, 即

$$X(\omega) = |X(\omega)|e^{j\theta_X(\omega)} \quad \text{或} \quad \tilde{X}(\Omega) = |\tilde{X}(\Omega)|e^{j\tilde{\theta}_X(\Omega)}$$

其中, 模函数 $|X(\omega)|$ 或 $|\tilde{X}(\Omega)|$ 表示构成 $x(t)$ 或 $x[n]$ 的复正弦

5.4.3 非周期信号频谱和 LTI 系统的频率响应(续)

分量的振幅在 ω 或 Ω 上的密度分布, 通常简称为**幅度频谱**; 而**角函数** $\theta_x(\omega)$ 或 $\tilde{\theta}_x(\Omega)$ 则表示构成 $x(t)$ 或 $x[n]$ 的 $e^{j\omega t}$ 或 $e^{j\Omega n}$ 的**初相位**在 ω 或 Ω 上的分布, 简称为非周期信号或序列的**相位频谱**。

■ LTI 系统的频率响应

对于连续或离散时间 **LTI 系统单位冲激响应** $h(t)$ 或 $h[n]$, 如果它们分别存在 **CFT** 或 **DTFT**, 即

$$h(t) \xleftrightarrow{\text{CFT}} H(\omega) \quad \text{或} \quad h[n] \xleftrightarrow{\text{DTFT}} \tilde{H}(\Omega)$$

$$\text{其中: } H(\omega) = \int_{-\infty}^{\infty} h(t)e^{-j\omega t} dt \quad \text{或} \quad \tilde{H}(\Omega) = \sum_{n=-\infty}^{\infty} h[n]e^{-j\Omega n}$$

$$\text{和 } h(t) = \frac{1}{2\pi} \int_{-\infty}^{\infty} H(\omega)e^{j\omega t} d\omega \quad \text{或} \quad h[n] = \frac{1}{2\pi} \int_{\langle 2\pi \rangle} \tilde{H}(\Omega)e^{j\Omega n} d\Omega$$

5.2节讲过: $H(\omega)$ 或 $\tilde{H}(\Omega)$ 是**LTI 系统**的**频率响应**, 表示 LTI 系统对 $e^{j\omega t}$ 或 $e^{j\Omega n}$ 输入的**复数增益**随频率 ω 或 Ω 的变化情况, 即

$$e^{j\omega t} \xrightarrow{h(t)} H(\omega)e^{j\omega t} \quad \text{或} \quad e^{j\Omega n} \xrightarrow{h[n]} \tilde{H}(\Omega)e^{j\Omega n}$$

5.4.3 非周期信号频谱和 LTI 系统的频率响应(续)

这里用非周期信号 $x(t)$ 或 $x[n]$ 通过 LTI 系统的情况, 来说明频率响应 $H(\omega)$ 或 $\tilde{H}(\Omega)$ 所表现的 **LTI 系统特性**。假设 $x(t)$ 或 $x[n]$ 的频谱为 $X(\omega)$ 或 $\tilde{X}(\Omega)$, 并表示为 $e^{j\omega t}$ 或 $e^{j\Omega n}$ 的连续线性组合, 即

$$x(t) = \int_{-\infty}^{\infty} \frac{X(\omega) d\omega}{2\pi} e^{j\omega t} \quad \text{或} \quad x[n] = \int_{\langle 2\pi \rangle} \frac{\tilde{X}(\Omega) d\Omega}{2\pi} e^{j\Omega n}$$

根据 LTI 系统**对复正弦输入的响应**和**线性性质**, 系统输出分别为

$$y(t) = \int_{-\infty}^{\infty} \frac{X(\omega) d\omega}{2\pi} H(\omega) e^{j\omega t} \quad \text{或} \quad y[n] = \int_{\langle 2\pi \rangle} \frac{\tilde{X}(\Omega) d\Omega}{2\pi} \tilde{H}(\Omega) e^{j\Omega n}$$

或写成

$$y(t) = \frac{1}{2\pi} \int_{-\infty}^{\infty} X(\omega) H(\omega) e^{j\omega t} d\omega \quad \text{或} \quad y[n] = \frac{1}{2\pi} \int_{\langle 2\pi \rangle} \tilde{X}(\Omega) \tilde{H}(\Omega) e^{j\Omega n} d\Omega$$

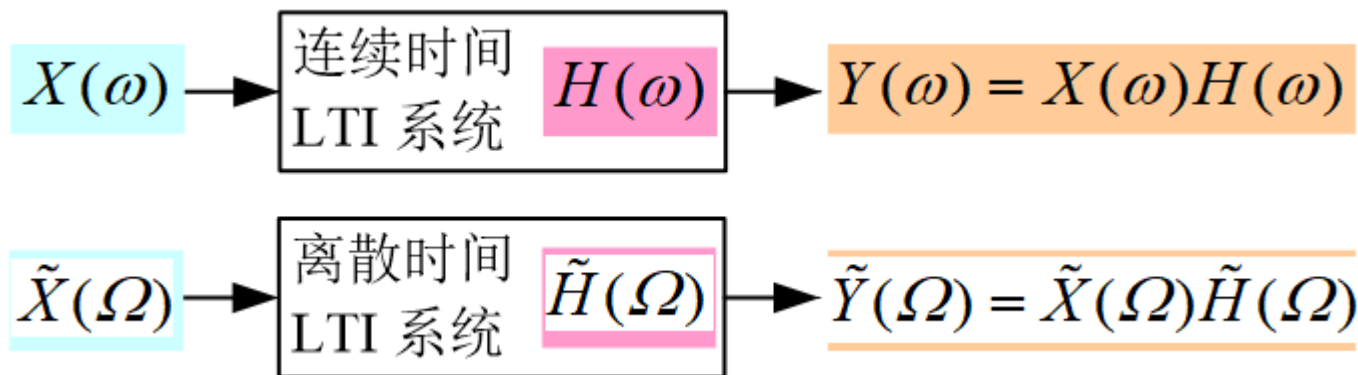
这是 CFT 或 DTFT 反变换, 得到 **LTI 系统的频域输入输出关系**为

$$Y(\omega) = X(\omega) H(\omega) \quad \text{或} \quad \tilde{Y}(\Omega) = \tilde{X}(\Omega) \tilde{H}(\Omega)$$

其中, $Y(\omega)$ 或 $\tilde{Y}(\Omega)$ 是输出信号 $y(t)$ 或 $y[n]$ 的 CFT 或 DTFT。这表明: LTI 系统在**频域**上表现的**输入输出特性**是, **输出信号**或**序**

5.4.3 非周期信号频谱和 LTI 系统的频率响应(续)

列的频谱等于输入信号或序列的频谱乘以 LTI 系统的频率响应。



两点进一步的认识和启发:

- LTI 系统的幅频响应和相频响应

$H(\omega)$ 或 $\tilde{H}(\Omega)$ 一般也是 ω 或 Ω 的复值函数, 与 $X(\omega)$ 或 $\tilde{X}(\Omega)$ 一样, 通常也用其模函数和幅角函数表示, 即

$$H(\omega) = |H(\omega)|e^{j\varphi(\omega)} \quad \text{或} \quad \tilde{H}(\Omega) = |\tilde{H}(\Omega)|e^{j\tilde{\varphi}(\Omega)}$$

若输出信号或序列频谱也表示成模和幅角函数形式, 则有:

$$Y(\omega) = |Y(\omega)|e^{j\theta_Y(\omega)} = |X(\omega)||H(\omega)|e^{j[\theta_X(\omega)+\varphi(\omega)]}$$

或

$$\tilde{Y}(\Omega) = |\tilde{Y}(\Omega)|e^{j\tilde{\theta}_Y(\Omega)} = |\tilde{X}(\Omega)||\tilde{H}(\Omega)|e^{j[\tilde{\theta}_X(\Omega)+\tilde{\varphi}(\Omega)]}$$

5.4.3 非周期信号频谱和 LTI 系统的频率响应(续)

上式表明，频率响应 $H(\omega)$ 或 $\tilde{H}(\Omega)$ 体现 LTI 系统两方面的特性：

- ▲ 输入信号中频率是 ω 或 Ω 的复正弦分量获得的幅度增益为 $|H(\omega)|$ 或 $|\tilde{H}(\Omega)|$ ，故它们称为 LTI 系统的幅度频率响应；
- ▲ 输入信号中频率是 ω 或 Ω 的复正弦分量通过 LTI 系统还产生附加的相位移动 $\varphi(\omega)$ 或 $\tilde{\varphi}(\Omega)$ ，故把它们称为 LTI 系统的相位频率响应，当 $\varphi(\omega) < 0$ 或 $\tilde{\varphi}(\Omega) < 0$ 是相位滞后，而当 $\varphi(\omega) > 0$ 或 $\tilde{\varphi}(\Omega) > 0$ 则是相位超前。

● LTI 系统的滤波功能

输入信号或序列通过 LTI 系统，其频谱 $X(\omega)$ 或 $\tilde{X}(\Omega)$ 要加权 $H(\omega)$ 或 $\tilde{H}(\Omega)$ ，如果 LTI 系统的幅频响应 $|H(\omega)|$ 或 $|\tilde{H}(\Omega)|$ 不是常数，则输入信号频谱中有些频率成分被增强，有些频率成分被削弱，甚至完全抑制 ($|H(\omega)| = 0$ 或 $|\tilde{H}(\Omega)| = 0$)。这种现象叫做滤波，实际的 LTI 系统都具有滤波功能，它们是天然的滤波器。有关滤波和滤波器在第10章还将详细讨论。

5.4.4 CFT 和 DTFT 的典型例子

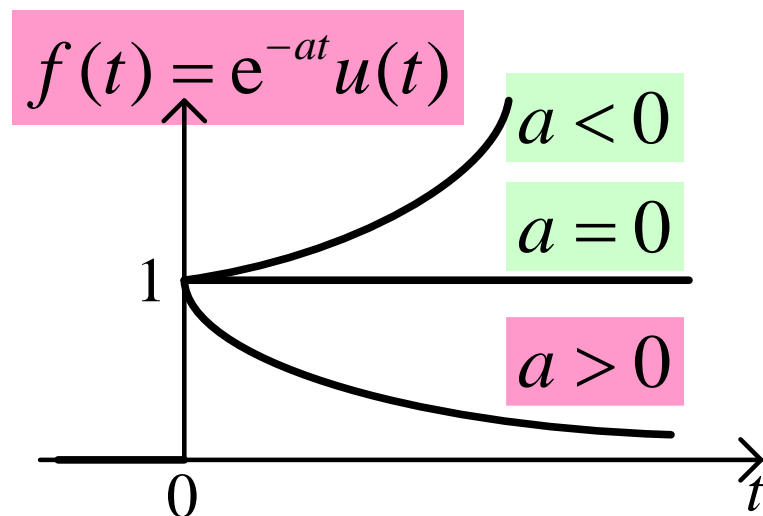
本小节通过 CFT 和 DTFT 的几个典型例子，进一步加深对信号的频谱和 LTI 系统的频率响应的理解，树立一些感性认识。

【例 5.5】 试求如下的单边实指数函数和序列的傅里叶变换：

$$f(t) = e^{-at}u(t) \quad \text{和} \quad f[n] = a^n u[n]$$

解： 不同实数 a 时， $f(t)$ 的波形见下图，只有当 $a > 0$ 时的单边衰减实指数函数满足模可积，

才有严格意义的 CFT；对于 $f[n]$ ，只有当 $0 < |a| < 1$ 时的单边衰减或正负交替衰减实指数序列满足模可和，才有严格意义的 DTFT。下面分别针对在 $a > 0$ 时的 $f(t)$ 和在 $0 < |a| < 1$ 时的 $f[n]$ ，计算它们的 CFT 和 DTFT：



$$F(\omega) = \int_0^{\infty} e^{-at} e^{-j\omega t} dt = \frac{-1}{a + j\omega} e^{-(a+j\omega)t} \Big|_0^{\infty} = \frac{1}{a + j\omega}, \quad a > 0$$

5.4.4 CFT 和 DTFT 的典型例子(续)

和
$$\tilde{F}(\Omega) = \sum_{n=0}^{\infty} a^n e^{-j\Omega n} = \sum_{n=0}^{\infty} (ae^{-j\Omega})^n = \frac{1}{1 - ae^{-j\Omega}}, \quad 0 < |a| < 1$$

由此得到两个常用的傅里叶变换对，即

$$e^{-at}u(t) \xleftrightarrow{\text{CFT}} \frac{1}{a + j\omega}, \quad \text{Re}\{a\} > 0$$

和
$$a^n u[n] \xleftrightarrow{\text{DTFT}} \frac{1}{1 - ae^{-j\Omega}}, \quad 0 < |a| < 1$$

由于 $F(\omega)$ 和 $\tilde{F}(\Omega)$ 分别是 ω 和 Ω 的复值函数，它们通常用其模函数和幅角函数表示，即

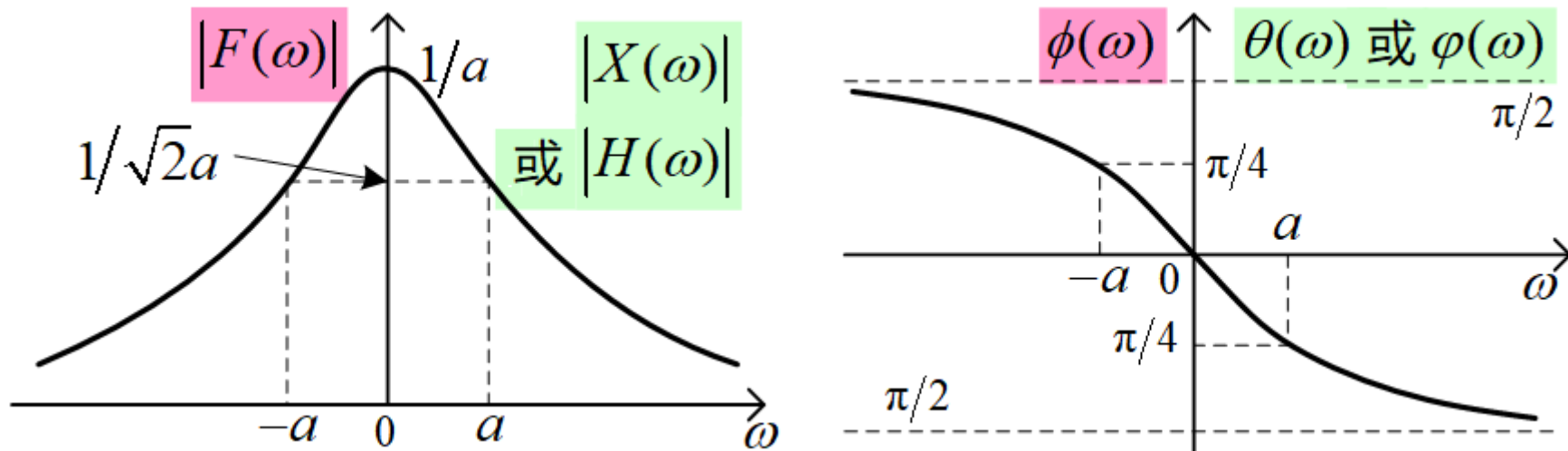
$$F(\omega) = |F(\omega)|e^{j\phi(\omega)} \quad \text{和} \quad \tilde{F}(\Omega) = |\tilde{F}(\Omega)|e^{j\tilde{\phi}(\Omega)}$$

其中：
$$|F(\omega)| = \frac{1}{\sqrt{a^2 + \omega^2}}, \quad \phi(\omega) = -\arctan\left(\frac{\omega}{a}\right)$$

和
$$|\tilde{F}(\Omega)| = \frac{1}{\sqrt{1 + a^2 - 2a\cos\Omega}}, \quad \tilde{\phi}(\Omega) = -\arctan\frac{a\sin(\Omega)}{1 - a\cos(\Omega)}$$

5.4.4 CFT 和 DTFT 的典型例子(续)

$F(\omega)$ 的模函数和幅角函数的图形如下:



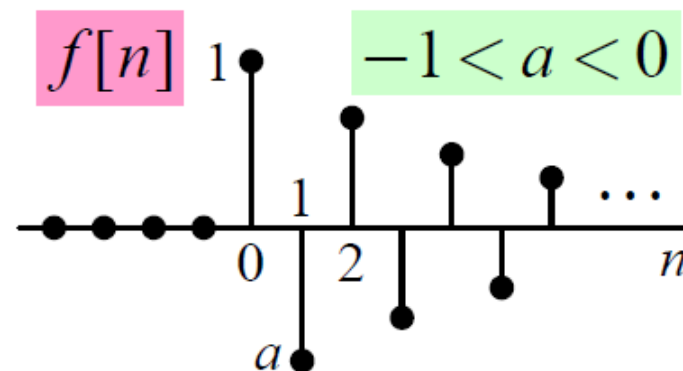
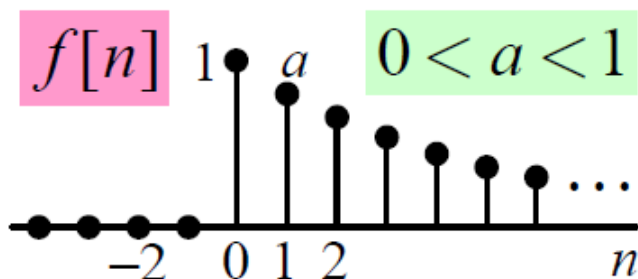
讨论:

- ▲ 如果把 $e^{-at}u(t)$, $a > 0$ 看成单边衰减实指数信号 $x(t)$, 其CFT的模函数就是它的幅度谱密度函数 $|X(\omega)|$, 其图形表明: 该信号有较大的低频分量, 频率越高的成分相对越小;
- ▲ 它也可以是用一阶微分方程 $y'(t) + ay(t) = x(t)$ 表示的因果稳定LTI系统的单位冲激响应 $h(t)$, 其CFT的模函数 $|H(\omega)|$ 和幅角函数 $\varphi(\omega)$ 的图形表明:

5.4.4 CFT 和 DTFT 的典型例子(续)

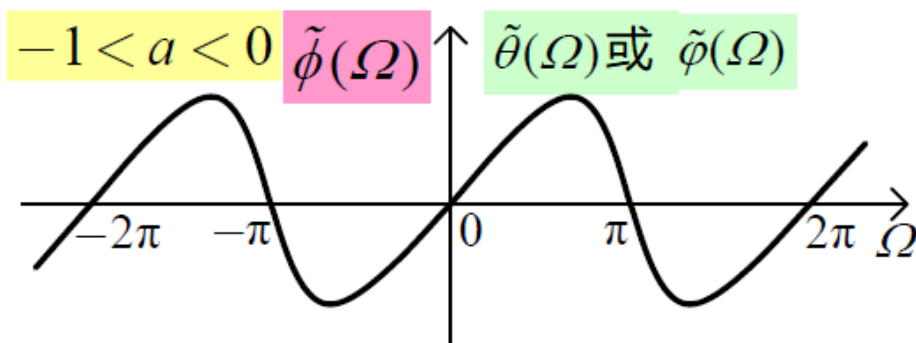
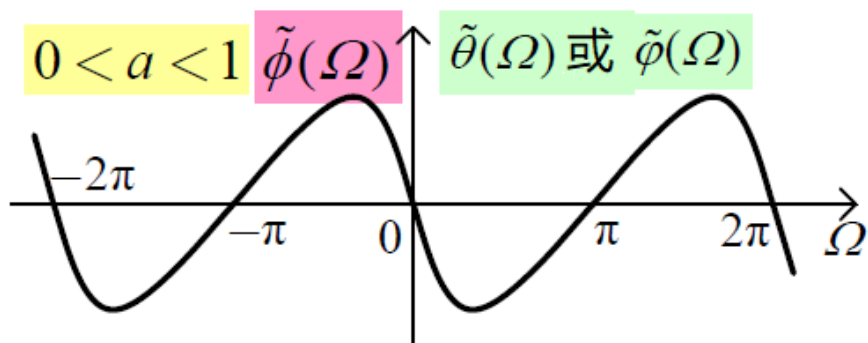
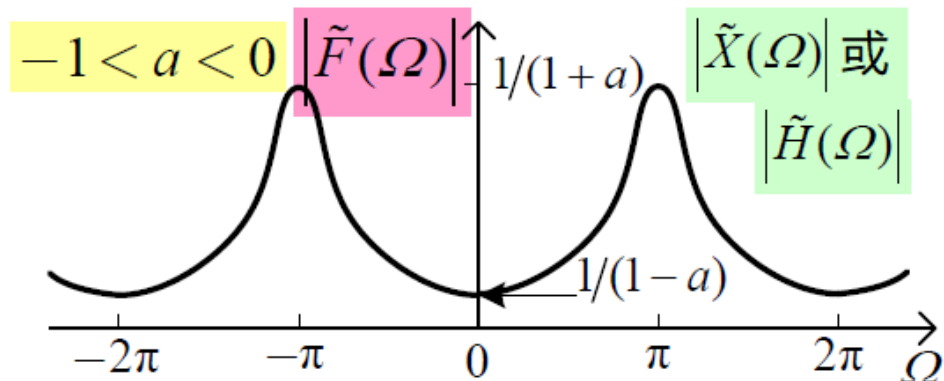
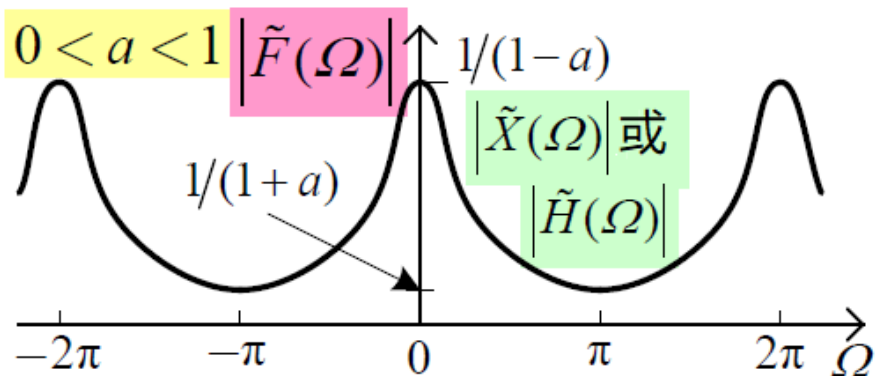
- ★ 这种连续时间一阶系统是一个低通滤波器，其 -3dB 低通截止频率为 $\omega_{\text{cL}} = a$ ，正实数 a 越大， $h(t)$ 衰减越快、波形越尖锐，其 -3dB 带宽也越宽，反之亦然；
- ★ 在该系统的 -3dB 带宽内，其相频响应 $\varphi(\omega)$ 接近于一条负斜率的直线(近似于线性相移特性)。

对于 $0 < a < 1$ 和 $-1 < a < 0$ 的**单边衰减**和的**实指数序列** $f[n]$ ，其序列图形见下图，与连续实指数函数有些不同。



$0 < a < 1$ 和 $-1 < a < 0$ 两种情况下 $f[n]$ 的 **DTFT** 模函数 $|\tilde{F}(\Omega)|$ 和幅角函数 $\tilde{\phi}(\Omega)$ 的图形分别如下图所示。

5.4.4 CFT 和 DTFT 的典型例子(续)



讨论:

- ▲ 其 DTFT 的模函数和幅角函数都是周期为 2π 的周期函数;
- ▲ 如果把 $a^n u[n]$, $0 < |a| < 1$ 看成离散时间信号 $x[n]$, 其 DTFT 的幅度谱 $|\tilde{X}(\omega)|$ 和相位谱 $\tilde{\theta}(\omega)$ 图形表明: $0 < a < 1$ 的 **单边衰减实指数序列** 的波形和频谱 (左半图) 类似于连续时间单边衰减实

5.4.4 CFT 和 DTFT 的典型例子(续)

指数信号，即低频分量较大，频率越高的成分相对越小；而 $-1 < a < 0$ 的**正负交替衰减实指数序列**的幅度频谱(右版图)却是一个高频频谱，即在**离散时间最高频率** (π 的**奇数倍**)处谱分量最大，在**最低频率** (π 的**偶数倍**)处谱分量最小。

▲ 如果它是用一阶差分方程 $y[n] - ay[n-1] = x[n]$ 表示的**因果稳定 LTI 系统**的**单位冲激响应** $h[n]$ ，其幅频响应 $|\tilde{H}(\Omega)|$ 和相频响应 $\tilde{\varphi}(\Omega)$ 的图形表明：

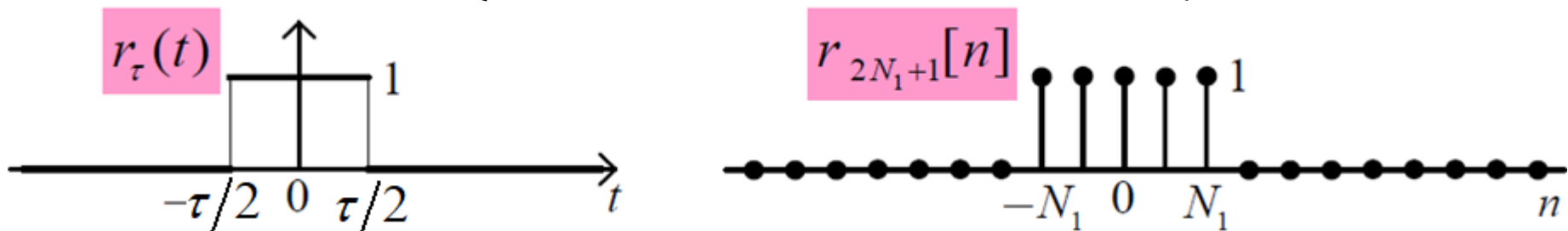
★ 当 $0 < a < 1$ 时， $|\tilde{H}(\Omega)|$ 表现为一个离散时间**低通**滤波器，而当 $-1 < a < 0$ 时，则表现为一个离散时间**高通**滤波器，且随着 $|a|$ 的**增大**， $h[n]$ 的**衰减速度变慢**，这两种滤波器的**通带也变宽**；

★ 相频响应 $\tilde{\varphi}(\Omega)$ 在低通或高通滤波器的通带内也近似于线性相频特性。

5.4.4 CFT 和 DTFT 的典型例子(续)

【例 5.6】 试求如下矩形时间函数和序列的傅里叶变换。

$$r_{\tau}(t) = \begin{cases} 1, & |t| < \tau/2 \\ 0, & |t| > \tau/2 \end{cases} \quad \text{和} \quad r_{2N_1+1}[n] = \begin{cases} 1, & |n| \leq N_1 \\ 0, & |n| > N_1 \end{cases}$$



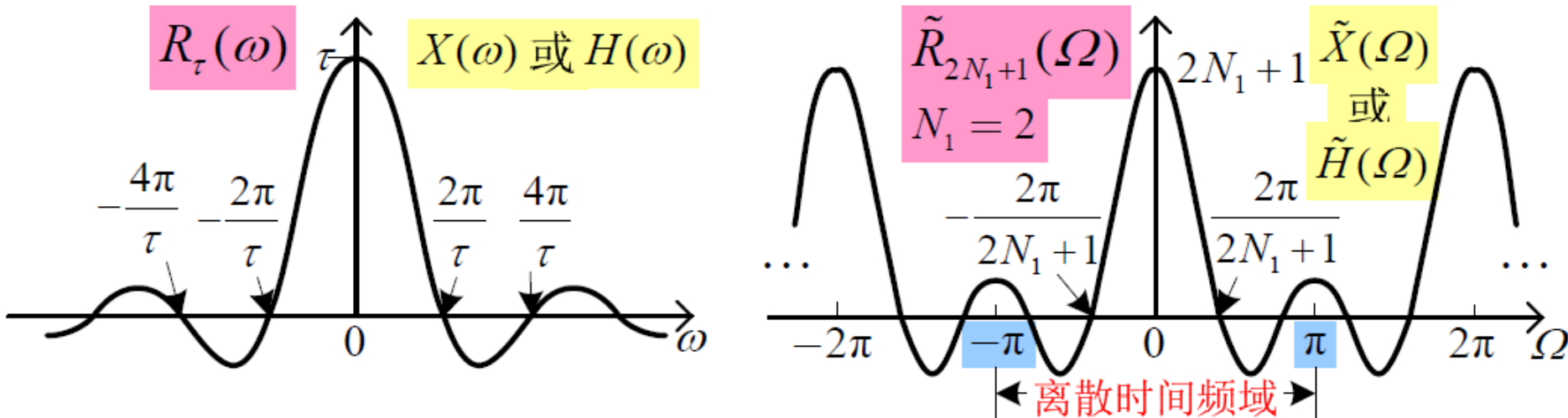
解 由于 $r_{\tau}(t)$ 或 $r_{2N_1+1}[n]$ 满足模可积或模可和，按照正变换公式，它们的傅里叶变换分别为

$$R_{\tau}(\omega) = \mathbf{F} \{r_{\tau}(t)\} = \int_{-\tau/2}^{\tau/2} e^{-j\omega t} dt = \tau \frac{\sin(\omega\tau/2)}{\omega\tau/2} = \tau \text{Sa}\left(\frac{\omega\tau}{2}\right)$$

$$\tilde{R}_{2N_1+1}(\Omega) = \mathbf{F} \{r_{2N_1+1}[n]\} = \sum_{n=-N_1}^{N_1} e^{-j\Omega n} = \begin{cases} \frac{\sin[\Omega(2N_1+1)/2]}{\sin(\Omega/2)}, & \Omega \neq 2\pi l \\ 2N_1+1, & \Omega = 2\pi l \end{cases}$$

它们是实函数，其函数图形分别如下图所示。

5.4.4 CFT 和 DTFT 的典型例子(续)



讨论: $r_\tau(t)$ 与 $r_{2N_1+1}[n]$ 可以是:

- ★ 连续时间或离散时间矩形脉冲信号 $x(t)$ 或 $x[n]$;
- ★ 时域矩形窗函数或矩形窗序列;
- ★ 连续或离散时间平滑系统单位冲激响应 $h(t)$ 或 $h[n]$ 。

它们不仅在时域上对偶，其傅里叶变换在频域上也十分对偶：

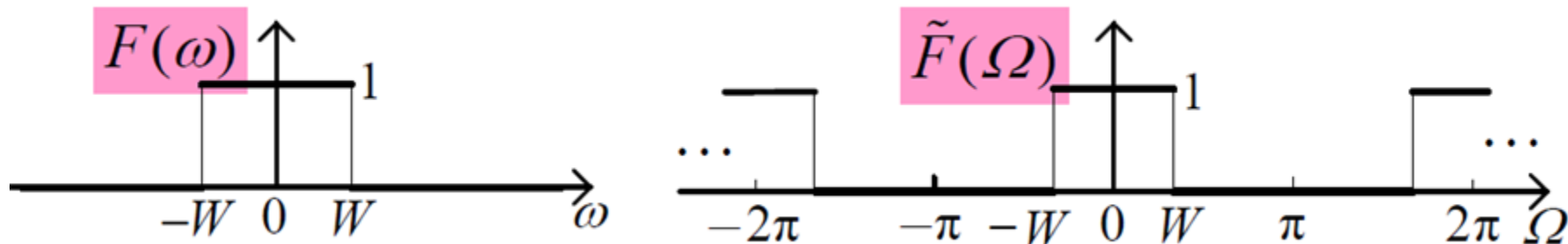
- ▲ 它们都等间隔地过零，且不断衰减，其间隔分别为 $2\pi/\tau$ 或 $2\pi/(2N_1+1)$ ，且通常作为信号或系统带宽的一种度量；
- ▲ 在零频率的函数值等于矩形函数的面积或序列值之和，即

$$R_\tau(0) = \tau \quad \text{和} \quad \tilde{R}_{2N_1+1}(0) = 2N_1 + 1$$

5.4.4 CFT 和 DTFT 的典型例子(续)

【例 5.7】 试求如下频域上矩形函数 $F(\omega)$ 和周期矩形函数 $\tilde{F}(\Omega)$ 反傅里叶变换 $f(t)$ 或 $f[n]$ 。

$$F(\omega) = \begin{cases} 1, & |\omega| < W \\ 0, & |\omega| > W \end{cases} \quad \text{和} \quad \tilde{F}(\Omega) = \begin{cases} 1, & 2\pi l - W < \Omega < 2\pi l + W \\ 0, & 2\pi l + W < \Omega < 2(l+1)\pi - W \end{cases}$$



解 由于 $F(\omega)$ 或 $\tilde{F}(\Omega)$ 都有界，故其反傅里叶变换 $f(t)$ 或 $f[n]$ 必定模可积或模可和。按照公式， $f(t)$ 或 $f[n]$ 分别为

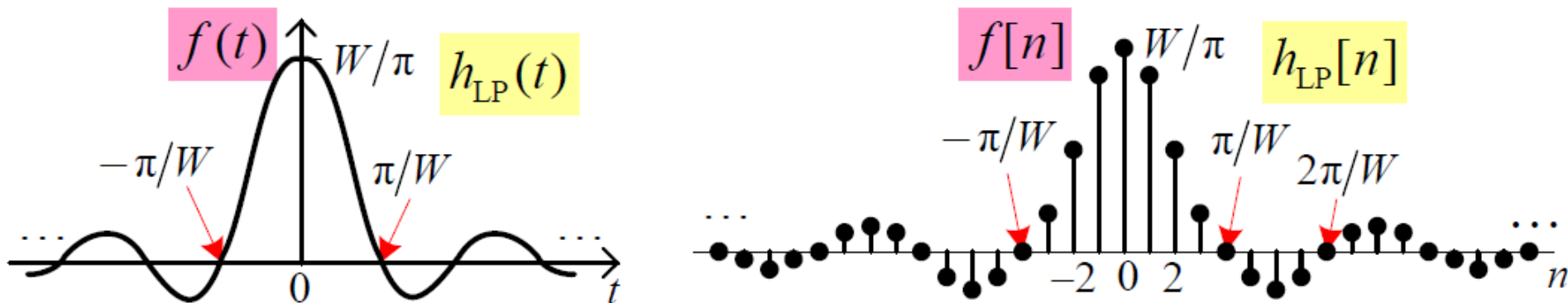
$$f(t) = \frac{1}{2\pi} \int_{-W}^W e^{j\omega t} d\omega = \frac{\sin(Wt)}{\pi t} = \frac{W}{\pi} \text{Sa}(Wt)$$

和

$$f[n] = \frac{1}{2\pi} \int_{-W}^W e^{j\Omega n} d\Omega = \frac{\sin(Wn)}{\pi n} = \frac{W}{\pi} \text{Sa}(Wn)$$

5.4.4 CFT 和 DTFT 的典型例子(续)

$f(t)$ 或 $f[n]$ 的函数或序列图形如下图所示。



讨论：频域上的矩形函数 $F(\omega)$ 或周期矩形函数 $\tilde{F}(\Omega)$ 的典型代表是截止频率为 W 的连续时间或离散时间理想低通滤波器的频率响应 $H_{LP}(\omega)$ 或 $\tilde{H}_{LP}(\Omega)$ ，它们的傅里叶反变换就是理想低通滤波器的单位冲激响应 $h_{LP}(t)$ 或 $h_{LP}[n]$ ，即时域上的抽样函数或序列，其波形或序列参数也很对偶：

- ▲ 它们都等间隔地过零，其间隔均为 π/W ；
- ▲ 它们在零时刻的函数值或序列值均为 W/π ，即

$$h_{LP}(0) = \frac{W}{\pi} \quad \text{和} \quad h_{LP}[0] = \frac{W}{\pi}$$

5.4.4 CFT 和 DTFT 的典型例子(续)

【例 5.4】 试求单位冲激函数 $\delta(t)$ 和单位冲激序列 $\delta[n]$ 的傅里叶变换。

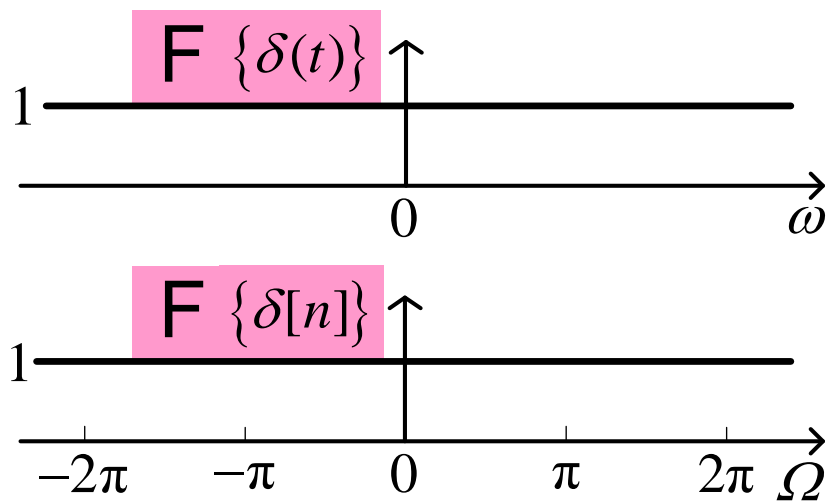
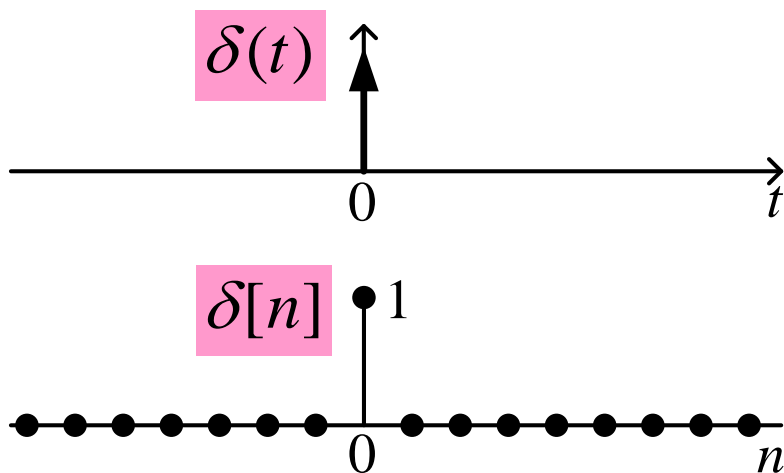
解 $\delta[n]$ 满足模可和，它存在 DTFT， $\delta(t)$ 属于奇异函数，但利用其抽样性质，也有 CFT。它们的傅里叶变换分别为：

$$\mathbf{F} \{ \delta(t) \} = \int_{-\infty}^{\infty} \delta(t) e^{-j\omega t} dt = e^{-j\omega t} \Big|_{t=0} = 1$$

和

$$\mathbf{F} \{ \delta[n] \} = \sum_{n=-\infty}^{\infty} \delta[n] e^{-j\Omega n} = e^{-j\Omega n} \Big|_{n=0} = 1$$

它们的波形和傅里叶变换的函数图形如下图所示。



5.4.4 CFT 和 DTFT 的典型例子(续)

由此得到两个十分重要的傅里叶变换对，即

$$\delta(t) \xleftrightarrow{\text{CFT}} 1 \quad \text{和} \quad \delta[n] \xleftrightarrow{\text{DTFT}} 1$$

讨论：在信号与系统中， $\delta(t)$ 或 $\delta[n]$ 可以看作连续时间或离散时间**冲激信号**，也可以代表连续时间或离散时间**恒等系统**的 $h(t)$ 或 $h[n]$ ，本例的结果表明：

▲ 连续时间或离散时间**冲激信号**具有所谓“**白色谱**”，即在**整个频域**上具有平坦的幅度谱密度，且其相位谱等于零，其典型例子就是所谓“**高斯白噪声**”，因为它的自相关函数是冲激函数。

▲ 连续时间或离散时间**恒等系统**是输出信号等于输入信号的 LTI 系统，它必须在**所有频率上**都具有**单位幅度增益**和零相移。故在实际中，不可能实现严格的**恒等系统**，但可以设计和实现所谓“**带限**”的恒等系统，在后面7.2节讨论信号的无失真传输和处理时，还将涉及这个问题。

作业

- 5.15 2)
- 5.16 1)
- 5.17 4)
- 5.18 3)
- 5.21 1)部分a)中的(2),
2)部分的d)